

合成箱桁を主桁とする斜張橋の 力学特性と適用スパンに関する検討

Mechanical characteristics and applicability of cable-stayed composite box girder bridges

長井正嗣* 奥井義昭** 山口宏樹*** 谷 荣**** 富本 信****

Masatsugu NAGAI, Yoshiaki OKUI, Hiroki YAMAGUCHI, Rong GU and Makoto TOMIMOTO

* 工博 長岡技術科学大学教授 工学部環境・建設系 (〒940-21 長岡市上富岡町 1603-1)

** 工博 埼玉大学助教授 工学部建設工学科 (〒338 浦和市下大久保 255)

*** 工博 埼玉大学教授 工学部建設工学科 (〒338 浦和市下大久保 255)

**** (株) 春本鐵工本社設計部 (〒104 東京都中央区新川 2-26-3)

This paper presents mechanical characteristics and an applicability of cable-stayed composite box girder bridges. In foreign countries, the number of the construction of cable-stayed composite 2 I-girder bridges have been increasing because of their economy. However, in Japan, they have not been constructed so far. One of main reasons is poor aerodynamic stability. To cope with this problem, instead of 2 I-girder systems, cable-stayed composite box girder bridges are dealt with. Based on the design of cable-stayed composite 2 I-girder, composite box and steel girder bridges with spans of 200, 400 and 600 meters, in which creep and shrinkage effects are taken into account, comparison of dead load and steel volume is made, and the applicable span of the composite box girder is presented.

Keywords : 合成斜張橋, 合成箱桁, クリープ, 乾燥収縮

cable-stayed composite girder bridges, composite box girders, creep, shrinkage

1. まえがき

合成2主I桁または合成2箱桁を主桁とする合成構造斜張橋^{1)~3)}は、1986年に完成したAlex-Fraser橋(カナダ:465m)以来、海外において経済的な鋼橋案として建設例が増加しつつある。とくに、ここ5年間では、世界の代表的な斜張橋の50%を本タイプが占めるに至っている^{4), 5)}。また、多くがスパン300~600mと長大橋であることが目を引く。このように、海外では競争力のある形式として、PC斜張橋の代案として建設数が増加する傾向にあるにもかかわらず、我が国では、小スパンの1例⁶⁾を除いて建設例がみられない。この理由として、1)ねじれ剛性の小さいπ断面の主桁を用いるため耐風安定性に劣る、2)長大橋にもかかわらず主桁本数を最少2本としたシンプルな形式のため耐久性に劣る、といった懸念が挙げられる。このうち、2)は技術者の長年の経験に基づく感覚的な懸念と考えられ、1)の問題を含め、以上の問題が定量的に十分に検討されているわけではない。

著者らは、上記1)の対策として主桁に合成箱桁

(オーブンボックスタイプでコンクリート床版と合成させて箱桁とする)を用いる形式に着目した⁷⁾。これは、箱閉断面を主桁に用いることにより高いねじれ剛性が得られ、結果的にフラッター不安定の問題が解消できるためである⁸⁾。しかしながら、本タイプは2主I桁に比べて相対的に重量増となる。また、コンクリート床版の乾燥収縮、クリープに起因する応力移行が相対的に大きくなり、とくにコンクリート床版の圧縮応力の低減が大きく、上記2)の耐久性に問題が生じることが予想された。そこで、スパン200, 400m斜張橋を対象に、クリープ、乾燥収縮による応力を考慮した概略設計を行い、合成2主I桁および合成箱桁の応力性状や鋼桁重量に関する比較検討を行った。その結果、スパン200mでは、両者の鋼桁重量には大きな差異が生じ、耐風安定性確保が決定的な要因にならない限り、合成箱桁を用いるメリットが少ないことを明らかにした。一方、スパンが400mになると、合成箱桁の鋼重量は合成2主I桁より大きいものの、その比率の差異は200mスパンの場合に比べて小さくなることを明らかにした。

またこのスパンで 2 主 I 枠を選べばフラッター風速を確保するための付属物が欠かせないと考えられ³⁾、上記の差異はさらに小さくなることが予想される。したがって、付属物重量次第で、また 2 主 I 枠で高いフラッター風速が得られない場合、本タイプは 2 主 I 枠タイプに対する代案となり得る可能性を明らかにした。

本研究では、文献 7) で行った検討に加え、より長大なスパンと鋼箱桁橋案を新たなパラメータとして応力性状やケーブルを含めた鋼重量の比較検討を行い、合成箱桁の力学特性を明らかにするとともに、適用スパンについて考察を加える。具体的には、スパン 200, 400, 600m を対象とし、文献 7) と同様、クリープ、乾燥収縮応力を考慮した概略設計を行う。クリープ、乾燥収縮を考慮するのは、先に説明した通り、本タイプではそれらによる応力移行、とくに床版の圧縮応力の低減が大きく、したがって床版の耐久性に影響を及ぼすことが考えられるためである。さらに、鋼箱桁橋案との重量比較を通じ、本タイプの適用スパンについてより詳細な考察を加える。なお、重量比較にあたっては、鋼桁とケーブル重量のみを対象としている。塔については、合成構造ではコンクリート製塔が、鋼橋では鋼製塔が多く採用されており、両者の単価を考慮した経済比較が困難であることから、それらを概略設計する上での資料を与えることとする。また、下部工についても、現地の地盤条件が経済性に大きな影響を与えるため一般論としての経済比較が困難となる。そこで、この場合も下部工を概略設計するための資料提供にとどまることになる。

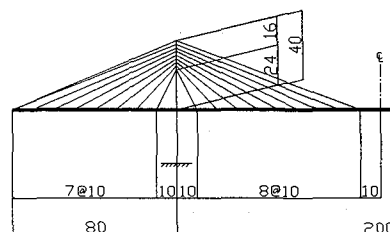
2. 計算モデルと構造パラメータ

橋モデルの基本諸元として、幅員 19.2m (4 車線想定)、床版厚 25cm、横桁間隔 3.3m を設定した。本モデルの床版は、橋スパン方向に 3.3m 間隔で配置された横桁 (またはダイアフラム) で支持されているため、橋スパン方向 (車両進行方向) が主鉄筋方向となる。床版厚の選定は横桁間隔と関係するが、道路橋示方書⁹⁾ (以後、道示という) に準じて決定した。横桁間隔は経済性に影響を与え、4 m 程度の配置間隔が経済的であるとの見解³⁾ が示されているが、3~5m 間隔での差異があまり大きないことから (例えば、文献 3) によれば、横桁間隔 3.3m の場合の鋼横桁と床版合計工費は、4m の場合の工費約 22 億円に対して 1% 程度増加する。因みに上部工の総工費は 132 億円)、本計算ではケーブルの桁定着間隔 10m の 3 分割点に横桁を配置した。なお、スパン 600m モデルでは、影響線解析プログラムの制約でケーブルの桁定着間隔を 20m として計算している。また、このモデルでは床版厚 25, 30, 35cm とした 3 ケースの

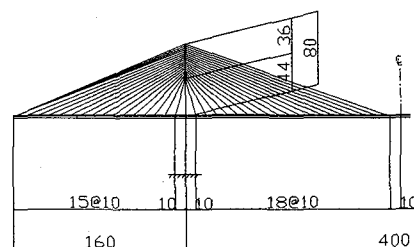
検討を行っている。これは、床版厚を 25cm とした場合、側径間ににおいて 70MPa の高強度コンクリートが必要となつたためである。床版厚として 30, 35cm を採用すると、床版曲げ応力が小さくできて強度 55 ~ 60MPa 程度のコンクリートが使用できる。但し、床版厚を増厚すると当然全体重量も増加する。本検討では、高強度コンクリートの使用を前提とし、スパン 200, 400m と同様、床版厚 25cm として検討を行うこととした。

今回の計算パラメータとして、

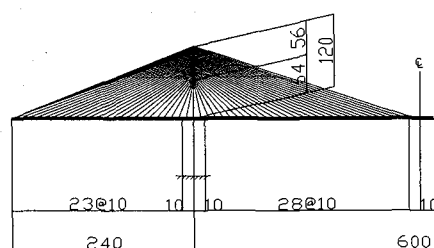
- 1) スパン : 200, 400, 600m
- 2) 主桁形式 : 合成 2 主 I 枠、合成箱桁、鋼床版箱桁を選び検討を行うこととした。但し、スパン 600m において、合成 2 主 I 枠の設計を行うと、鋼桁のサイズがかなり大きくなり、設計が困難となった。そのため、比較検討の中で、この組合せは除外することとした。なお、スパン 600m では合成 2 主 I 枠に代わって合成 2 箱桁¹⁰⁾ が主桁として採用されているが、耐風安定性について不明確な部分もあり検討の対象外とした。あわせて、鋼橋案でも鋼床版 2 箱桁が検討対象となるが、同様の理由により対象外とした。



(a) スパン 200m



(b) スパン 400m



(c) スパン 600m

図 - 1 橋モデルの側面形状

図-1にスパン200, 400, 600mモデルの側面形状、また、図-2にそれぞれの断面、表-1に断面諸量と荷重の大きさを示す。主桁の桁高さはスパン200, 400, 600mで、それぞれ1.5, 2.0, 3.0mを仮定している。また、主桁は塔位置において鉛直ケーブルで支持（弾性支持）されている。合成桁の主桁断面は死、活荷重及びクリープ、乾燥収縮による応力を計算して決定している。詳細は4. 解析結果と考察で説明する。また、具体的な数値を省略しているが、ケーブル断面積も影響線解析による設計を行い決定している。

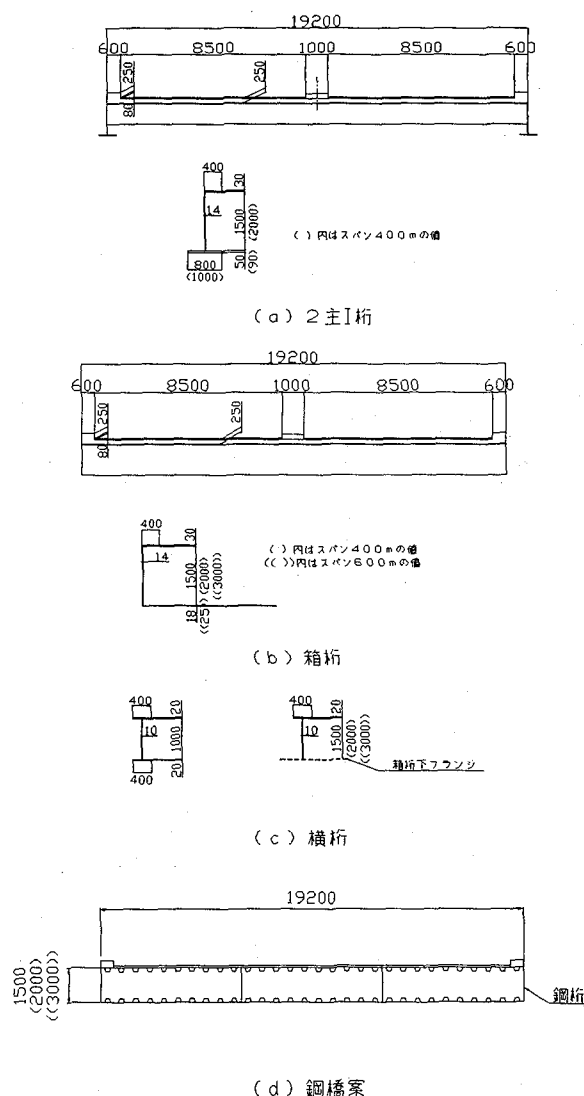


図-2 断面形状

表-1 主桁断面諸量と荷重の大きさ

2主I桁		箱桁
断面積(m^3)	0.832(0.946)	1.097(1.111)(1.298)
断面2次モーメント(m^4)	0.235(0.741)	0.657(1.117)(2.983)
死荷重(kN/m)	200.3(211.7)	222.2(226.5)(251.0)
p1	110.3(110.3)	110.3(110.3)(110.3)
p2	中央径間 側径間 33.1(33.1) 38.6(33.1)	中央径間 側径間 33.1(33.1)(33.1) 38.6(33.1)(33.1)

ヤング係数比=7, () 内はスパン400mの値, ())内はスパン600mの値

その際、許容応力度は570MPa程度（衝撃係数、支点沈下や温度変化による応力を考慮していないため許容応力度628MPaの約90%を設定）とした。また、完成時（全死荷重載荷時）のケーブル張力は、塔はもとより桁が極力軸力部材となるよう決定した。因みに文献7)では、ケーブル張力の決定に当たり、完成時の桁の正、負曲げモーメントの絶対値がほぼ等しくなる条件を選んだ。そのため、スパン200m斜張橋の主桁には、中央径間中央部を除いて比較的大きな負のモーメントが生じていた。そこで、スパン200mモデルについては再計算を行うこととした。なお、スパン400mモデルでは、曲げ応力が軸力による応力に比べて相対的に小さかったため、文献7)と同じ結果を転用した。

3. クリープ、乾燥収縮解析とパラメータ

クリープ、乾燥収縮解析は骨組モデルを用いた変位法により行っている^{6), 11)}。

これまで建設された合成斜張橋の床版を調査^{1, 2)}したところ、場所打ちタイプとプレキャストタイプが用いられている。本検討ではそれぞれのタイプを想定して以下の係数を用いた、

1) 場所打ちタイプ^{1, 3)}: クリープ係数2.0、乾燥収縮度 200×10^{-6} （この場合のクリープ係数は4.0）。計算では、クリープ解析と乾燥収縮解析を個別に行い両者を重ね合わせる。以後、場所打ちタイプを【タイプ1】とする。

2) プレキャストタイプ: クリープ係数1.4、乾燥収縮度0（乾燥収縮は養生期間を設けて終了しているものとして仮定）。このタイプを以後【タイプ2】とする。クリープ係数については、コンクリート標準示方書¹⁴⁾に従い載荷材令150日を想定したが（その場合の係数は1.0），若干の安全をみて1.4としている。

なお、クリープ、乾燥収縮は完成後に発生すると仮定する。

4. 応力性状

以下に、死荷重による応力、それにクリープ、乾燥収縮による応力を加えた応力、さらに活荷重応力を加えた応力を示す。活荷重による応力は影響線解析により算出した応力である。床版応力は床版上面の応力、鋼桁は下フランジ下面の応力である。

4. 1 クリープ、乾燥収縮を考慮した床版応力

図-3~5にスパン200, 400, 600mの床版応力を示す。図中、□、+印は、それぞれ死荷重時（クリープ、乾燥収縮前）の応力、クリープ、乾燥収縮終了後の応力で、両者の差異が応力移行量となる。また、△、◇印はクリープ、乾燥収縮後の応力に活荷

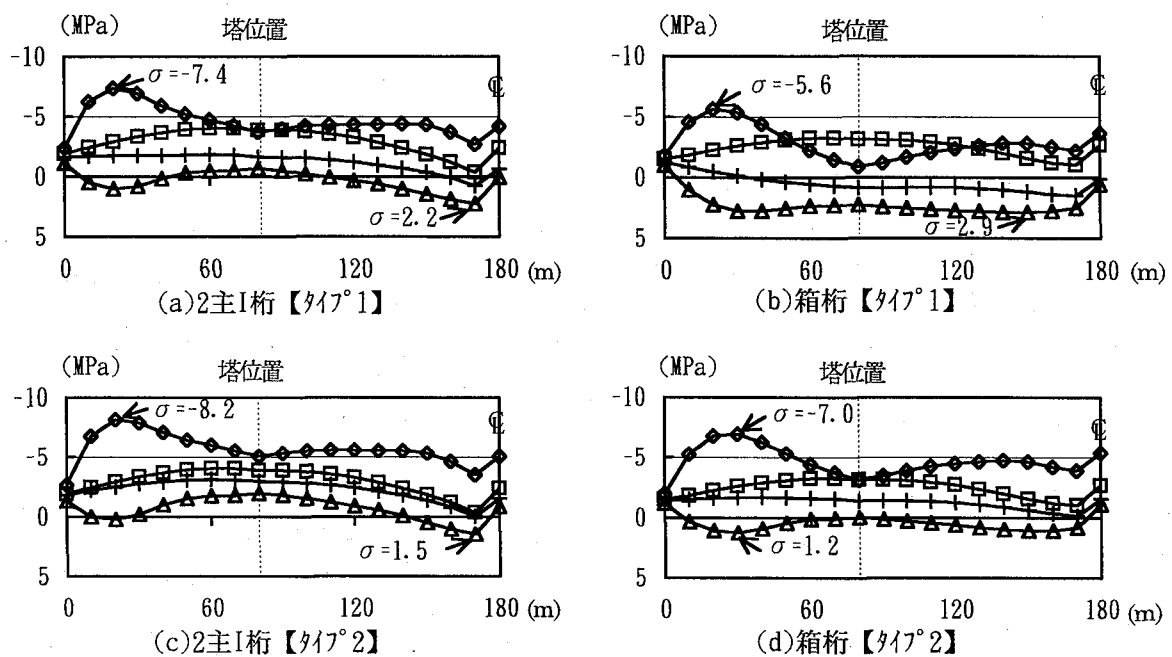


図-3 床版応力 (Span 200 m)

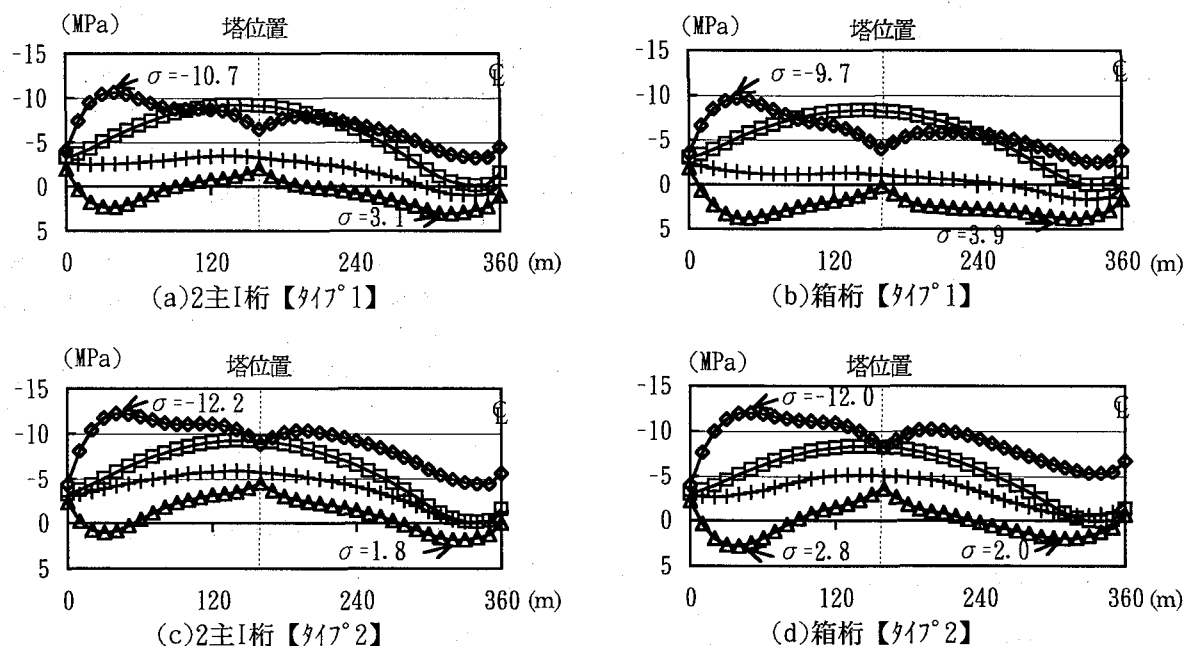


図-4 床版応力 (Span 400 m)

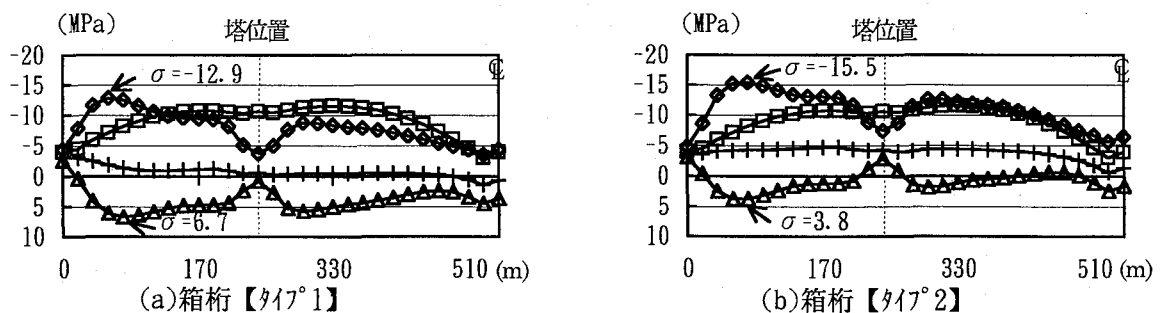


図-5 床版応力 (Span 600 m)

重応力を加えた合計応力である。

スパン 200m の場合、箱桁を用いると、クリープ、乾燥収縮後（【タイプ1】）、死荷重状態での応力は桁端部を除いて引張となる。また、死、活荷重状態では、最大 2.9MPa 程度の引張応力が生じる。これに対して、2 主 I 桁では、死荷重状態でスパン中央のごく一部が引張応力となる。また、死、活荷重による最大引張応力度は 2.2MPa 程度となる。【タイプ2】の場合、2 主 I 桁の場合の応力移行はかなり小さくなる。箱桁でも、死荷重状態では橋長にわたり圧縮応力となる。ただし、死、活荷重による応力は桁全長にわたり引張となるが、その最大値は 1.2MPa 程度である。以上より、【タイプ1】を想定した場合、合成箱桁では死荷重時に引張応力が生じ、採用には困難が予想される。【タイプ2】の場合、合成箱桁の場合でも死荷重時の応力を圧縮とできる。活荷重時に引張応力が生じるが、最大 1.2MPa 程度で、コンクリートに引張応力が生じることを許容すれば設計可能（許容値 2.45MPa¹⁵⁾）である。

スパン 400m の場合、【タイプ1】の床版を用いると、箱桁の死荷重時応力は、中央径間中央部の 200m 区間（全長 720m）のみが引張応力となる。また、死、活荷重状態では最大引張応力は 4MPa 弱と大きい。2 主 I 桁は、スパン 200m の場合と同様の傾向にあるが、死、活荷重時の最大引張応力は 3MPa 程度となる。【タイプ2】の場合、箱桁でも死荷重時の応力は橋長にわたり圧縮となる。また、死、活荷重による引張応力は、活荷重曲げモーメントが大きい橋端部と、圧縮軸力の小さいスパン中央において生じ、最大で 3MPa 弱である。

スパン 600m の場合、【タイプ1】では、死荷重時の圧縮応力が、引張にならないにしてもほぼ 0 に近くなる。活荷重による応力を加算すると最大 6.7MPa の引張応力が生じる。一方、【タイプ2】では、【タイプ1】と同様に圧縮応力の低減が大きいが、5MPa 程度の圧縮応力となる。活荷重応力を加算すると、最大 3.8MPa 程度の引張応力が生じる。

4. 2 クリープ、乾燥収縮を考慮しない床版応力

クリープ、乾燥収縮を考慮しない場合の死、活荷重による床版の最大応力と、T 荷重 (98KN) による床版応力を重ね合わせた結果を表-2 に示す。なお、床版応力は道示¹³⁾に準じて算出した。密に配置した横桁で床版を支持する本タイプの場合、床版断面力の算出にあたり、道示の評価式が適用できないことが指摘されている。文献 3), 15) の検討結果によれば、横桁間隔をスパンとした連続版（横桁を剛支点とみなす）の断面力分布ではなく、むしろケーブル定着点を支点とした連続版の挙動を示すことが報告されている。そのため、負のモーメントはかな

り小さくなり、逆に正のモーメントが大きくなる。しかし、得られた正のモーメントは道示による評価値に対して若干大きい程度である¹⁵⁾。今後詳細な検討を要するものの、ここでは、道示の床版断面力を用いて考察を加えることとした。

表中、() 内数値は以下のようにして求めた。b), c) 合計の応力の欄では、合計応力度を 3.5 倍している。これは、合成桁の安全率¹³⁾を乗じたものである。また、a), b), c) 合計の応力の欄では、合計応力度を 2.5 倍している。これは、床版応力との重ね合わせを行う場合に用いる割り増し係数 1.4¹³⁾を考慮したものである。

表-2 クリープ、乾燥収縮を考慮しない床版応力

(MPa)			
スパン200m;2主I桁		スパン200m;箱桁	
側径間	主塔位置	側径間	主塔位置
a)床版作用	±7.0	±7.0	±7.0
b)曲げモーメント	-3.3	1.7	-3.4
c)軸力	-4.2	-6.3	-3.9
a)+b)+c	14.5(37)	11.6(29)	14.3(36)
b)+c	7.5(27)	4.6(17)	7.3(26)
			4.0(14)

(MPa)			
スパン400m;2主I桁		スパン400m;箱桁	
側径間	主塔位置	側径間	主塔位置
a)床版作用	±7.0	±7.0	±7.0
b)曲げモーメント	-3.1	-0.6	-6.0
c)軸力	-11.2	-11.8	-7.9
a)+b)+c	21.3(54)	19.4(49)	20.9(53)
b)+c	14.3(50)	12.4(44)	13.9(49)
			11.2(40)

(MPa)	
スパン600m;箱桁	
側径間	主塔位置
a)床版作用	±7.0
b)曲げモーメント	-8.3
c)軸力	-11.4
a)+b)+c	26.7(67)
b)+c	19.7(69)
	13.8(49)

表-2 より、スパン 200, 400, 600m について、それぞれ 37, 54, 70MPa 程度の圧縮強度をもつコンクリートが必要となることがわかる。本タイプを長スパンに適用する場合、高強度コンクリート床版が欠かせないことが指摘されている^{2), 3)}。事実、前述の Alex-Fraser 橋（スパン 465m）では、強度 55MPa のコンクリート床版が使用されている。本検討からも同様のことが言えるが、スパンが 600m になると 70MPa 程度の高強度コンクリートが必要となる。

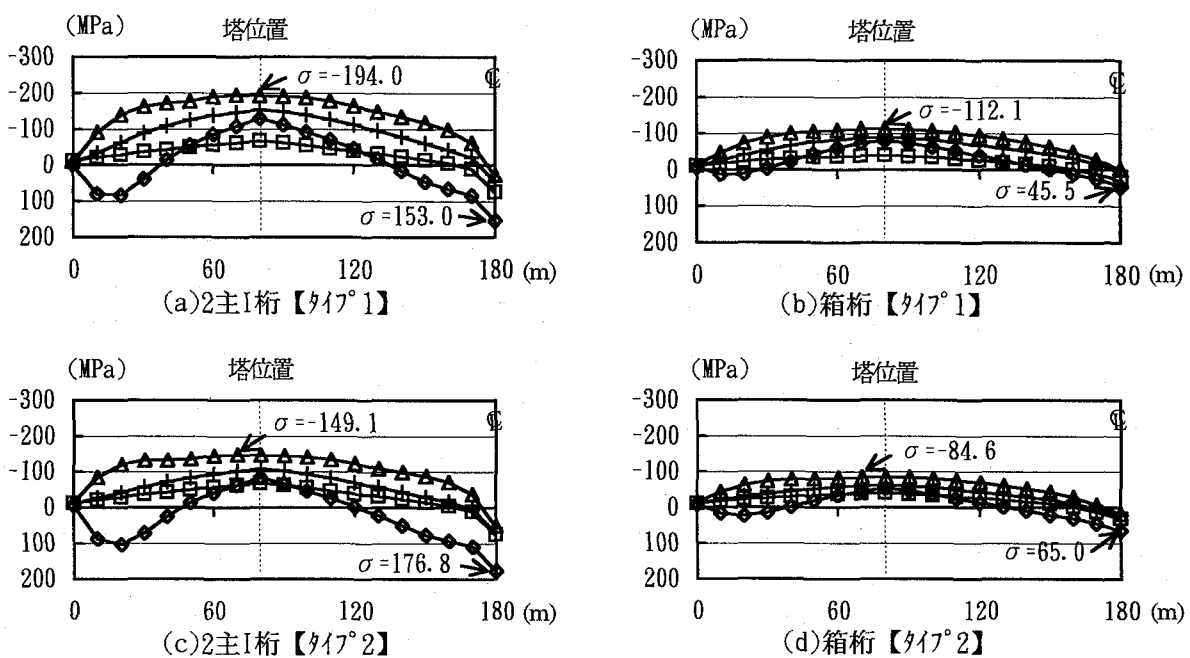


図-6 鋼桁応力 (スパン200m)

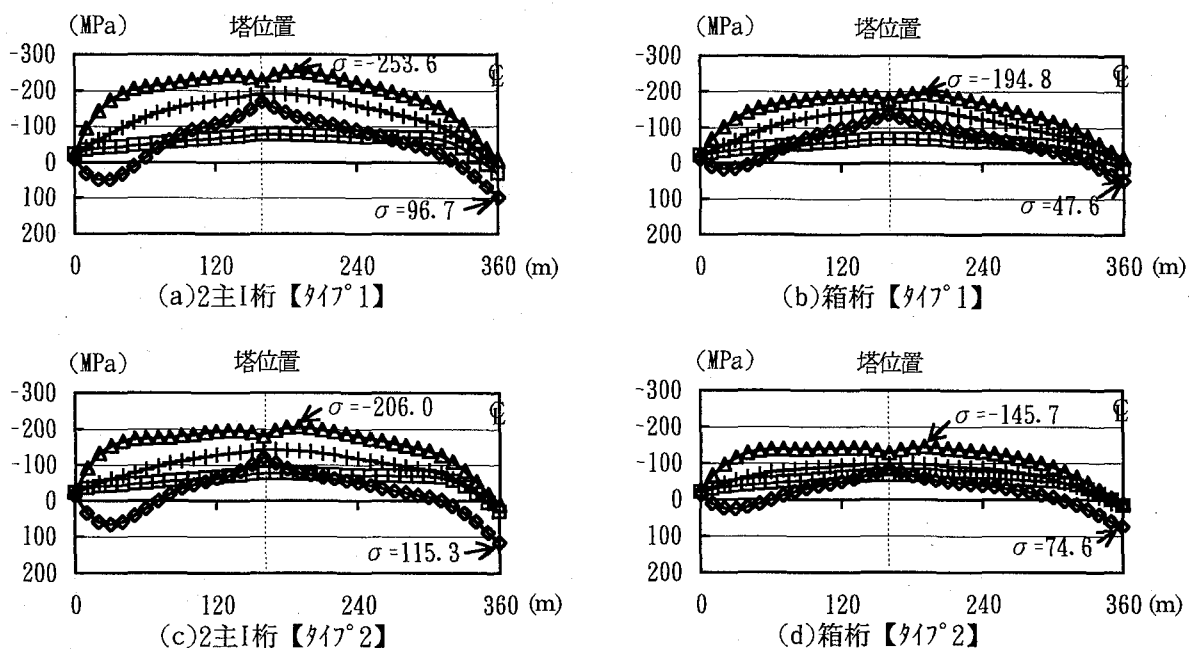


図-7 鋼桁応力 (スパン400m)

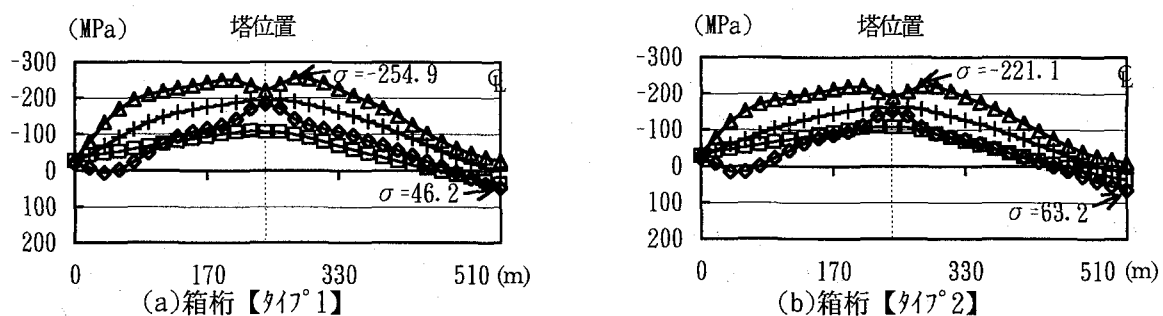


図-8 鋼桁応力 (スパン600m)

4. 3 鋼桁応力

図-6~8にスパン 200, 400, 600m の鋼桁応力(下フランジ位置)を示す。図中の記号の見方は 4.2 床版応力と同じである。図より、箱桁の応力は I 桁に比べてかなり小さいことがわかる。

スパン 200m の 2 主 I 桁の場合、【タイプ 1】、【タイプ 2】とも SM490Y 材を使用する必要がある。箱桁の場合、【タイプ 1, 2】とともに SM400 材が使用できる。また、【タイプ 1】の床版を用いても、最大応力は 110MPa 程度で、許容応力度の上限値に比べて十分余裕がある。

スパン 400m の 2 主 I 桁の場合、【タイプ 1】では SM570 材、【タイプ 2】では SM490Y 材を使用する必要がある。これに対して、箱桁を用いると、【タイプ 1】で SM490Y 材、【タイプ 2】の場合も SM490 材が必要であるが、許容応力度の超過はわずかのため、SM400 材が使用できると考える。以上より、箱桁断面を主桁断面に用いると、2 主 I 桁に比べて 1 ランク低い強度の鋼(SM490Y→SM400, SM570→SM490Y)を使用することができる。

スパン 600m の場合(合成箱桁)、【タイプ 1】では、最大 90MPa 程度の応力移行が生じ、橋長の約半分の区間で SM570 材を使用する必要がある。また、

【タイプ 2】でも 60MPa 程度の応力移行が生じ、塔近傍で SM570 材を使用する必要があるが、その他の領域で SM490Y 材が使用できる。

一方、鋼橋案では、橋スパン方向の応力分布図はこれまでの鋼斜張橋と同じで多くの報告例があるため省略するが、スパン 200, 400m とともに SM400 材が使用でき、スパン 400m の場合でも最大応力は 100MPa 程度である。スパンが 600m になると、塔の近傍 200m 程度の区間で SM490Y 材(最大応力は 160MPa 程度)を使用する必要があるが、その他の領域では SM400 材が使用できる。

5. 鋼桁重量、ケーブル重量及び死荷重の比較と考察

合成 2 主 I 桁、合成箱桁の鋼重量の算出にあたっては、次のような仮定を設けた。a) 図-2に示した主桁断面積に単位体積重量を乗じ、さらに係数 1.3 を乗じる。係数 1.3 は添接部の高力ボルトや添接板の重量また横補剛材の重量を考慮するために仮定した値である。なお、箱桁の下フランジの板厚は縦リブ断面積を考慮して 18mm と仮定した。b) 横桁または箱桁ダイアフラム重量も断面積に単位体積重量を乗じ、かつ係数 1.3 を乗じて算出した。橋スパン方向の単位長さ当たりの重量は、3.3(横桁間隔 3.3m)で割って算出している。鋼橋案の桁重量の算出では、鋼断面積に単位体積重量を乗じ、さらに係数 1.4 を乗じた。鋼橋案の場合、係数 1.4 としたのは、鋼床

版の横リブが比較的密に配置されることを考慮するものである。なお、下フランジのトラフリブを板厚換算(リブ総断面積/下フランジ幅)すると 6.2mm 程度となり、12mm を加えると合成箱桁で仮定した 18mm にはほぼ対応する。なお、スパン 600m の合成箱桁では、鋼桁の最大応力を SM570 材の上限値 255MPa 以下(図-8(a) 参照)とするために等価板厚で 25mm に増厚している。

表-3に、上述の条件下で計算した概略重量と死荷重の比較結果を示す。

スパン 200m では、合成箱桁の鋼桁重量は合成 2 主 I 桁に比べて約 1.7 倍となる。また死荷重も 10%程度大きい。なお、合成 2 主 I 桁の総幅員で割った 1m²あたりの重量は 1.70KN とスパン 40m 程度の単純合成 I 桁の鋼重量¹⁶⁾に近い。鋼橋案の桁重量(4.45 KN/m²)は、合成 2 主 I 桁の 2.6 倍、合成箱桁の 1.6 倍で、かなり大きくなる。鋼橋案ではケーブル重量が小さいことから、仮にケーブルの単価を鋼桁の単価の 3 倍として換算鋼重(鋼桁重量+3.0x ケーブル重量)を比較しても、合成 2 主 I 桁の 2 倍となり大きな差異と言える。したがって、コンクリート床版の費用を考慮しても鋼桁とケーブルの費用は合成 2 主 I 桁案の方が少ないと考えられる。

表-3 概略重量比較

スパン(m)	タイプ	死荷重(kN/m)	鋼桁重量(kN/m)	ケーブル重量(MN)
200 (80)	2	200.3	32.7	1.91
	B	222.2	54.6	2.00
	S	135.4	85.4	1.35
400 (160)	2	211.7	44.0	7.97
	B	226.5	58.9	8.44
	S	138.6	88.6	5.79
600 (240)	B	251.0	83.4	21.16
	S	145.0	95.1	13.39

() 内は側径間長
2:合成2主I桁 B:合成箱桁 S:鋼箱桁

スパン 400m では、合成 2 主 I 桁と合成箱桁の鋼重量の比率の差異が小さくなる。前者の 1m²あたりの重量は 2.29KN で後者は 3.07KN である。合成箱桁の鋼重量が、スパン 200, 400m で大きく変化しないのは、I 桁の板厚が応力で決定されるのに対して、箱桁は最小板厚で断面構成が可能なためである。箱桁で生じる差異は仮定した桁高さの差(1.5→2.0m)に起因している。このスパンで 2 主 I 桁を選べば架橋地点の気象条件にもよるが、耐風安定性確保のための付属物が欠かせなくなり、したがってさらに鋼重量が増加して差異は更に小さくなるものと考えられる。因みに、文献 3) のスパン 410m を対象とした検討からは、付属物重量の増加量は明らかにされていないものの、前述の上部工の総工費 132 億円に対して 10% 程度の費用を必要する結果が得られている。

さて、鋼橋案の桁重量は、合成箱桁の場合と同様の理由で、スパン 200m の場合と大差なく 4.61KN/m^2 で、合成箱桁案に比べて大きい。しかし、ケーブルと鋼桁の単価を 3:1 として換算重量で比較すると約 20% (2 主 I 桁では約 45%) の差異となる。そのため、コンクリート床版の費用を考慮すると、その単価によっては、鋼桁とケーブルの費用の差異は小さくなると考えられる。このスパン領域では、ケーブル単価の設定が形式選定に影響を与える可能性が大きい。

以上より、2 主 I 桁案との比較では、付属物重量次第で、また高いフランジャー風速が得られない場合に本タイプが有力な案となる。鋼橋案との比較においては、ケーブルやコンクリート床版の鋼桁に対する単価の設定次第で両者の費用が接近する可能性が高い。また、鋼橋案の死荷重は合成箱桁に対して 60% 程度でかなり小さい。そのため、鋼橋案との比較においては塔や下部構造を考慮する必要がある。

スパン 600m では、合成箱桁と鋼橋案の鋼重量差は前者が 4.34KN/m^2 に対して、後者は 4.95KN/m^2 でさらに小さくなる。両者の値が接近した理由は、先に説明した通り、発生応力を SM570 材の上限値 255MPa 以下とするために合成箱桁の下フランジ厚を増厚したためである。ケーブル、鋼桁の単価を 3:1 とした換算鋼重では、死荷重の大きい合成箱桁の方が 7% 程度大きくなる。1:1 とすると逆に 4% 小さくなるものの、コンクリート床版の費用を考慮すると逆転する可能性がある。これより、合成箱桁の死荷重が鋼橋案の 1.7 倍となることを考慮すると、このスパンにおいて合成箱桁の優位性はなくなるものと考えられる。

6. 合成斜張橋の応力性状と合成箱桁の適用性に関する考察

合成箱桁、2 主 I 桁を主桁とする合成構造斜張橋のクリープ、乾燥収縮応力を含む応力性状の比較と鋼橋を含めた鋼重量に着目した比較を行い得られた結果を要約すると以下のようになる。

(1) 床版

- 死荷重時は圧縮とし、活荷重時に引張応力を許容 (2.45MPa 以下^{1,3)}) すること、また本文で設定したクリープ係数と乾燥収縮度を前提条件とした場合、場所打ちタイプはスパン 200m の 2 主 I 桁の床版としてが使用できるが、その他の検討ケース (スパン、主桁形式) ではプレキャスト床版を用いる必要がある。
- スパン 200, 400, 600m で、それぞれ 37, 54, 70MPa 程度の圧縮強度をもつ床版が必要となる。
- 本タイプでは、クリープ、乾燥収縮に起因する応力移行が大きいため、この応力を考慮した検討が欠

かせない。また、コンクリートの上記係数が小さくなる配慮が設計、施工上の重要な課題となる。

(2) 鋼桁

箱桁の応力は 2 主 I 桁に比べて小さく、同一スパンの比較において、文中に示したように 1 ランク低い強度の鋼材を使用できる。合成箱桁では、スパンに応じて高強度の材料を使用すれば、最小の板厚 (下フランジ厚として 10mm 程度) で設計可能となる。

(3) 鋼橋を含めた重量の比較

1) スパン 200m の場合、合成箱桁と 2 主 I 桁での鋼桁重量の差異は大きく、耐風安定性の確保が設計上の支配パラメータとならない限り、合成箱桁を使用するメリットは少ないと言える。また、鋼橋案の鋼重量はさらに大きい。

2) スパンが 400m になると、箱桁、2 主 I 桁の鋼重量差は小さくなる。このスパンでは、一般に耐風安定性の確保が重要な課題となると考えられる。そのため、耐風安定性確保のための付属物を含んだ重量比較を行う必要がある。合成 2 主 I 桁のフランジャー風速が少ない付属物重量で確保できる場合、合成 2 主 I 桁が有利と言え、したがって、高い風速が得られない場合に合成箱桁が有力な案となる。鋼橋案との比較では、合成箱桁の鋼重量が小さい結果が得られた。しかし、鋼橋案は軽量なため、ケーブル他の単価の設定次第で両者の費用は接近する可能性が高く、塔や下部工を含む総合的な検討が必要となる。

3) スパン 600m では、合成箱桁、鋼橋案の桁鋼重に大きな差異が見られず、ケーブルの単価を鋼桁よりも高く設定すると経済性が生じない。さらに、鋼橋案の総死荷重は合成箱桁の 60% 程度と小さいため、合成箱桁の鋼橋案に対する競争力は薄れると考えられる。

7. まとめ

本文では、合成箱桁を主桁とする斜張橋のクリープ、乾燥収縮応力を考慮した力学特性を明らかにするとともに適用スパンについて検討を行った。これまで実績の多い合成 2 主 I 桁に対して、応力性状や重量の比較を通して本タイプの適用性について考察した。あわせ、鋼橋案との比較を試みた。

その結果、鋼桁重量、ケーブル重量、死荷重の比較から、スパン 200m では合成 2 主 I 桁に対する優位性がみられず、スパンが 400m 前後の領域において合成 2 主 I 桁の代案となり得る可能性を明らかにした。スパン 400m 程度での鋼橋案との比較では、ケーブル単価を高く設定すると両者の費用が接近する。その場合、より軽量な鋼橋案が有利となる。また、スパンが 600m を対象として鋼橋案との比較を行ったが、鋼桁、ケーブル重量の比較の範囲においても、鋼橋案に対する優位性が得られなかった。ただし、この

スパンにおいて、合成箱桁の鋼桁を対象にきめの細かい設計（下フランジ板厚をスパン方向に変化）を行えば、両者の差異は大きくなると考えられるが、本文では検討を行っていない。また、このスパンでは、先に説明したように合成2箱桁を主桁とする斜張橋¹⁰⁾が既に建設されており、鋼橋案との経済性を比較する上で、今後検討を要する。

長スパンの橋梁においても、より経済的でしかも耐久性の高い構造システムの開発が強く望まれている。本検討では、海外では競争力のある形式として実績が多いものの我が国では実績のない合成斜張橋に着目し、その力学特性や設計上の注意事項を明らかにした。あわせ、鋼橋案も含めた比較を通して、適用性に関する考察を行った。本文が今後の長スパン橋梁の設計に役立てば幸いと考える。

【参考文献】

- 1) R.Saul, H.Svensson, H.P.Andrea und H.J.Selchow : Die SunshineSkyway Brucke in Florida, USA-Entwurf einer Schraegkablebrucke mit Verbunduberbau, Bautechnik, Heft 7 und 9, pp.230-238,pp.305-309,1984
- 2) 佐野信一郎, 長井正嗣, 井澤衛, 奥井義昭 : 合成構造斜張橋の適用支間に関する一検討および構造詳細の紹介, 橋梁と基礎, Vol. 23, No. 2, pp. 35-40, 1989
- 3) 横山功一, 日下部毅明, 若狭忠雄, 大場誠道 ; 2主桁合成床版を有する斜張橋の総合的検討, 土木学会構造工学論文集, Vol. 38A, pp. 1153-1160, 1992
- 4) M.Virlouges (Editor) : Proc. of Int. Conf on Cable-stayed and Suspension Bridges, IABSE & FIP, Deaville, France, 1994
- 5) H.Svensson : The development of composite cable-stayed bridges, Proc. of Bridges into the 21st Century, The Hongkong Institution of Engineers, Hongkong, pp.45-54,1995
- 6) 川田忠樹監修 : 複合構造橋梁, 技報堂出版, 1994
- 7) 長井正嗣, 奥井義昭, 山口宏樹, 谷栄, 富本信 : 合成箱桁を主桁とする斜張橋のクリープ, 乾燥収縮に着目した力学特性に関する検討, 鋼構造年次論文報告集, 第4卷, pp. 309-316, 1996年
- 8) 長井正嗣, 石田知久, 謝旭, 山口宏樹, 藤野陽三 : 長大斜張橋の静的, 動的耐風安定性を確保できる最小桁幅に関する検討, 土木学会構造工学論文集, Vol. 44A, 1998 (登載予定)
- 9) (社) 日本道路協会 : 鋼道路橋示方書・同解説, IIIコンクリート橋編, 1994
- 10) 林元培 (著) 謝旭, 中崎俊三 (訳) : 中国の長大合成斜張橋の設計と施工—南浦大橋と揚浦大橋—, 橋梁と基礎, Vol. 30, No. 6, PP. 25-34, 1996
- 11) 下田晃伸 : 断面変形を考慮した合成桁橋のクリープ, 乾燥収縮解析, 埼玉大学大学院理工学研究科博士前期課程学位論文, 1996
- 12) 鋼橋技術研究会 : 合理化・省力化研究部会報告書, 1996
- 13) (社) 日本道路協会 : 鋼道路橋示方書・同解説, II鋼橋編, 1994
- 14) 土木学会 : コンクリート標準示方書, 設計編
- 15) 富本信, 谷栄, 長井正嗣, 奥井義昭 : T荷重載荷による2主桁合成斜張橋の床版応力に関する検討, 土木学会第51回年次学術講演会講演概要集, pp. 598-599, 1996
- 16) (社) 日本橋梁建設協会 : JASBC manual デザインデータブック, 1981

(1997 年 9 月 26 日受付)